

# Métodos Numéricos I - Resonancia en oscilaciones no lineales

Unai Aguilera Irazabal  
DNI: 45663055M

16 de enero de 2013

## Índice

<b>1. Introducción</b>	<b>2</b>
<b>2. Resolución numérica</b>	<b>2</b>
2.1. Método de Runge-Kutta . . . . .	2
2.1.1. Método de Runge-Kutta para ecuaciones diferenciales de segundo grado	3
2.1.2. Estudio de la precisión del método de Runge-Kutta . . . . .	4
2.2. Transformada de Fourier Discreta . . . . .	5
<b>3. Casos de estudio</b>	<b>6</b>
3.1. Oscilador lineal no forzado ni amortiguado . . . . .	6
3.2. Oscilador lineal forzado pero no amortiguado . . . . .	6
3.3. Oscilador lineal forzado y amortiguado . . . . .	7
3.4. Oscilador no lineal forzado y amortiguado . . . . .	8
3.4.1. Conjunto de parámetros S1 . . . . .	9
3.4.2. Conjunto de parámetros S2 . . . . .	11
<b>4. Conclusiones</b>	<b>11</b>
<b>5. Anexo</b>	<b>12</b>
5.1. Implementación de los métodos numéricos . . . . .	12

## 1. Introducción

La ecuación diferencial (1) modela el comportamiento de un oscilador no lineal en su forma más general.

$$\frac{d^2x}{dt^2} + \gamma \frac{dx}{dt} + \omega_o^2 x + \beta x^2 = F_o \cos \omega t \quad (1)$$

El primer término del lado izquierdo de esta ecuación representa la aceleración que sufre el oscilador durante su movimiento. El segundo término define el amortiguamiento del oscilador debido a la disipación de energía cinética mediante, por ejemplo, rozamiento. Dicho término es, por lo tanto, proporcional a la velocidad del oscilador en cada instante y está regulado por el coeficiente  $\gamma$ .

El tercer miembro es la fuerza lineal característica de los osciladores armónicos, muelle, péndulo, etc. Este término es proporcional a la frecuencia natural del oscilador,  $\omega_o$ , determinada por sus características físicas: masa, longitud del péndulo, constante elástica del muelle, etc.

El último término del primer miembro de la ecuación introduce las características no lineales del oscilador mediante la aplicación de fuerzas que dependen del cuadrado de la posición del oscilador en cada instante. Este término se encuentra regulado por el coeficiente  $\beta$ .

Por último, el miembro derecho de la ecuación representa la aplicación de una fuerza externa sobre el oscilador. Esta fuerza posee una magnitud  $F_o$  que varía en el tiempo de forma periódica con una frecuencia  $\omega$ .

## 2. Resolución numérica

En esta sección se explican los aspectos relaciones con los métodos numéricos utilizados en este trabajo para la resolución de los distintos casos del oscilador anarmónico.

### 2.1. Método de Runge-Kutta

Para la resolución de la ecuación diferencial no lineal planteada en el trabajo, se requiere la aplicación de un método numérico para la integración de ecuaciones diferenciales. Este tipo de métodos permite obtener una solución numérica en aquellos casos en los que no es posible llevar a cabo la resolución de la ecuación diferencial por métodos analíticos.

La obtención de la solución numérica de una ecuación diferencial se basa en la aproximación del siguiente valor de la función mediante incrementos muy pequeños de la variable independiente, utilizando para ello la información proporcionada por la derivada de la función. La derivada es evaluada en cada paso, obteniéndose la nueva razón del incremento de la variable dependiente para el siguiente. Se obtiene así una tabla que contiene los valores de la función para determinados valores. Normalmente, los valores de la variable independiente se encuentran espaciados entre sí debido a la utilización de un paso de integración constante.

Como el enunciado del trabajo requiere la aplicación de un método numérico de cuarto orden, se ha utilizado el método *Runge-Kutta* de dicho orden <sup>1</sup>. En el método de Runge-Kutta, aplicado a la resolución de una ecuación diferencial del tipo  $\frac{dy}{dx}$ , el incremento en

---

<sup>1</sup>página 460 del libro de Gerald & Wheatley *Análisis numérico con aplicaciones*.

$y$  no es proporcional unicamente al valor de la derivada en el punto anterior, sino a un promedio ponderado de varias estimaciones de dicho incremento. En el caso concreto del método de cuarto orden utilizado, se obtiene un promedio ponderado de cuatro estimaciones  $k_n$  calculadas de forma incremental.

El método de Runge-Kutta de cuarto orden para la resolución de una ecuación diferencial de primer grado queda definido por el siguiente conjunto de ecuaciones:

$$k_1 = hf(x_n, y_n) \quad (2)$$

$$k_2 = hf(x_n + \frac{1}{2}h, y_n + \frac{1}{2}k_1) \quad (3)$$

$$k_3 = hf(x_n + \frac{1}{2}h, y_n + \frac{1}{2}k_2) \quad (4)$$

$$k_4 = hf(x_n + h, y_n + k_3) \quad (5)$$

$$y_{n+1} = y_n + \frac{1}{6}(k_1 + 2k_2 + 2k_3 + k_4) \quad (6)$$

don del error se puede estimar como  $O(h^5)$ .

### 2.1.1. Método de Runge-Kutta para ecuaciones diferenciales de segundo grado

Para poder aplicar el método anterior a la resolución numérica de ecuaciones diferenciales de segundo grado, como es el caso del oscilador anarmónico, es necesario, primeramente, llevar a cabo una descomposición de la ecuación planteada en un sistema de dos ecuaciones diferenciales de primer grado.<sup>2</sup>

En el caso de la ecuación (1) del problema estudiado, la realización de la substitución  $\frac{dx}{dt} = y$ , permite obtener el siguiente sistema de ecuaciones:

$$\frac{dx}{dt} = y = f(t, x, y) \quad (7)$$

$$\frac{dy}{dt} = F_o \cos \omega t - \gamma y - \omega_o^2 x - \beta x^2 = g(t, x, y) \quad (8)$$

donde se han indicado también las funciones  $f(t, x, y)$  y  $g(t, x, y)$  que se utilizarán para la aproximación del sistema.

Por otro lado, el método de Runge-Kutta explicado anteriormente debe ser modificado para poder ser aplicado al sistema de ecuaciones diferenciales de forma correcta<sup>3</sup>.

En el metodo para un sistema de ecuaciones se alterna en la obtención de las constantes  $k_n, l_n$  para cada una de las ecuaciones. Además, se utilizan los valores correspondientes a cada variable dependiente para el incremento durante el cálculo de la siguiente constante.

Así, el método de Runge-Kutta para el caso de un sistema de dos ecuaciones diferenciales se define de la siguiente forma:

<sup>2</sup>páginas 477-478 del libro de Gerald & Wheatley *Análisis numérico con aplicaciones*.

<sup>3</sup>página 480 del libro de Gerald & Wheatley *Análisis numérico con aplicaciones*.

$$k_1 = hf(t_n, x_n, y_n) \quad (9)$$

$$l_1 = hg(t_n, x_n, y_n) \quad (10)$$

$$k_2 = hf(t_n + \frac{1}{2}h, x_n + \frac{1}{2}k_1, y_n + \frac{1}{2}l_1) \quad (11)$$

$$l_2 = gf(t_n + \frac{1}{2}h, x_n + \frac{1}{2}k_1, y_n + \frac{1}{2}l_1) \quad (12)$$

$$k_3 = hf(t_n + \frac{1}{2}h, x_n + \frac{1}{2}k_2, y_n + \frac{1}{2}l_2) \quad (13)$$

$$l_3 = gf(t_n + \frac{1}{2}h, x_n + \frac{1}{2}k_2, y_n + \frac{1}{2}l_2) \quad (14)$$

$$k_4 = hf(t_n + h, x_n + k_3, y_n + l_3) \quad (15)$$

$$l_4 = gf(t_n + h, x_n + k_3, y_n + l_3) \quad (16)$$

$$x_{n+1} = x_n + \frac{1}{6}(k_1 + 2k_2 + 2k_3 + k_4) \quad (17)$$

$$y_{n+1} = y_n + \frac{1}{6}(l_1 + 2l_2 + 2l_3 + l_4) \quad (18)$$

### 2.1.2. Estudio de la precisión del método de Runge-Kutta

Se realiza a continuación un estudio de la precisión del metodo implementado mediante la modificación del paso de integración  $h$  y comparando los resultados obtenidos para diferentes valores de  $t$  de la función  $x(t)$  hasta el octavo decimal.

El estudio de precisión se ha llevado a cabo aplicando el método las ecuaciones definidas en la sección 2.1.1 con las condiciones iniciales  $x(0) = \frac{dx}{dt}(0) = 0$ . En la tabla 1 se recogen resultados obtenidos cuando se reduce el paso de integración a la mitad. Como puede observarse, los resultados mejoran hasta que convergen hasta siete decimales cuando el paso de integración se cambia de  $h = 0,01$  a  $h = 0,005$ .

La precisión de siete decimales es suficiente para llevar a cabo el estudio de los diferentes casos del oscilador anarmónico. Debido a que se obtiene la misma precisión para los dos valores de  $h$ , se ha seleccionado el mayor de los dos con la finalidad de necesitar un menor número de iteraciones y reducir el tiempo de cómputo y las necesidades de memoria. Por lo tanto, durante la realización de los siguientes apartados de este trabajo, se utilizará  $h = 0,01$  como paso de integración de las diferentes ecuaciones diferenciales con la aplicación del método de Runge-Kutta.

t	$h = 0,08$	$h = 0,04$	$h = 0,02$	$h = 0,01$	$h = 0,005$
0.00	0.00000000	0.00000000	0.00000000	0.00000000	0.00000000
0.40	0.03729791	0.03729797	0.03729797	0.03729797	0.03729797
0.80	0.12560652	0.12560665	0.12560666	0.12560666	0.12560666
1.20	0.21776317	0.21776331	0.21776332	0.21776332	0.21776332
1.60	0.26365461	0.26365463	0.26365463	0.26365463	0.26365463
2.00	0.22867909	0.22867888	0.22867887	0.22867886	0.22867886
2.40	0.10701479	0.10701434	0.10701431	0.10701431	0.10701431
2.80	-0.07889020	-0.07889079	-0.07889082	-0.07889082	-0.07889082
3.20	-0.29094257	-0.29094316	-0.29094319	-0.29094320	-0.29094320
3.60	-0.48987965	-0.48988020	-0.48988023	-0.48988024	-0.48988024
4.00	-0.64352628	-0.64352678	-0.64352682	-0.64352682	-0.64352682
4.40	-0.72838016	-0.72838067	-0.72838070	-0.72838070	-0.72838070
4.80	-0.72853695	-0.72853749	-0.72853753	-0.72853753	-0.72853753
5.20	-0.63596267	-0.63596328	-0.63596331	-0.63596332	-0.63596332
5.60	-0.45435681	-0.45435747	-0.45435751	-0.45435751	-0.45435751
6.00	-0.20634549	-0.20634617	-0.20634620	-0.20634621	-0.20634621

Tabla 1: Estudio de la precisión de la solución para distintos valores del paso de integración  $h$ . Se han utilizado los parámetros  $\gamma = 0,52$ ,  $\beta = 1$ ,  $F_o = 0,516$  y  $w = 1,2$ . La tabla muestra que los valores convergen hasta el séptimo decimal en los casos en que  $h = 0,01$  y  $h = 0,005$ . Se ha representado únicamente un periodo y se han muestreado valores cada  $\Delta t = 0,4$  de la tabla de integración obtenida tras la aplicación del método Runge-Kutta

## 2.2. Transformada de Fourier Discreta

Para el cálculo del espectro de potencias de las distintas señales producidas en cada uno de los casos del oscilador se ha aplicado la *Transformada de Fourier Discreta*. Este método de análisis matemático permite descomponer una señal discreta, y periódica en el tiempo, en un conjunto de señales sinusoidales constitutivas. Su finalidad es aproximar la señal periódica mediante una serie de ondas sinusoidales de frecuencias definidas. Por otro lado, su uso implica que se analiza un único periodo de la señal periódica mediante la obtención de una muestra de  $N$  valores.

La Transformada de Fourier Discreta aplicada a un conjunto de  $N$  valores  $x(t)$ , dentro de un mismo periodo de la señal y medidos en instantes equiespaciados donde  $t = t_o + \Delta t$ , se calcula como:

$$F(k) = \sum_{n=0}^{N-1} x(t) \exp(-i \frac{2\pi n k}{N}), \quad n = 0, 1, 2, \dots, N-1 \quad (19)$$

Como puede observarse, los resultados de la aplicación de esta ecuación a una muestra de  $N$  puntos proporciona información sobre  $N$  frecuencias constitutivas, múltiplos  $n = 0, 1, 2, \dots, N-1$  de una frecuencia base.

Hay que tener en cuenta que este cálculo, tal y como ha sido implementado en este trabajo, requiere  $O(N^2)$  operaciones, por lo que para conjuntos de muestra grandes el tiempo de operaciones a realizar puede resultar muy elevado.

En el caso de este trabajo, la implementación de la Transformada de Fourier Discreta se ha llevado a cabo de forma directa, debido a que a durante la realización del análisis espectral de

las señales del oscilador se ha obtenido un conjunto de 4 puntos por periodo, y posteriormente promediada sobre 50 periodos de la señal. Este número de operaciones puede ser procesadas en un tiempo aceptable en un ordenador moderno. Sin embargo, en el caso de necesitar un numero grande muestras, es recomendable utilizar la *Transformada Rápida de Fourier*, que utiliza simetrías durante el cálculo de los coeficientes de la señal para reducir enormemente el número de operaciones requeridas hasta  $O(N \log(N))$ .

### 3. Casos de estudio

Se exponen a continuación los resultados obtenidos del estudio tanto de la señal como del espectro de potencias para cada uno de los siguientes casos de la ecuación 1:

- Oscilador lineal no forzado ni amortiguado ( $\gamma = \beta = F_o = 0$ ).
- Oscilador lineal forzado pero no amortiguado ( $\gamma = \beta = 0$  pero  $F_o \neq 0$ ).
- Oscilador lineal forzado y amortiguado ( $\beta = 0$  pero  $\gamma \neq 0, F_o \neq 0$ ).
- Oscilador no lineal forzado y amortiguado ( $\gamma \neq 0, \beta \neq 0, F_o \neq 0$ ).

Aunque los tres primeros casos pueden ser resueltos de forma analítica para encontrar la solución exacta, se ha llevado a cabo la resolución numérica de los diferentes casos para comprobar que los métodos implementados se comportan de la forma esperada. Para el estudio de todos los casos anteriores se han considerado las siguientes condiciones iniciales:

$$x(0) = \frac{dx}{dt}(0) = 0 \quad (20)$$

#### 3.1. Oscilador lineal no forzado ni amortiguado

El sistema de ecuaciones diferenciales queda en este caso con la forma

$$\frac{dx}{dt} = y = f(t, x, y) \quad (21)$$

$$\frac{dy}{dt} = -w_o^2 y = g(t, x, y) \quad (22)$$

En el caso de que se apliquen las condiciones iniciales consideradas, debido a que el oscilador armónico se encuentra inicialmente en reposo y no actúa ninguna fuerza sobre el mismo, no se producirá ningún cambio en su situación a lo largo del tiempo. Por otro lado, ya que no existe ningún movimiento armónico del oscilador las frecuencias constitutivas de la señal poseen un valor exactamente cero. Ambos resultados se muestran en la figura 1.

#### 3.2. Oscilador lineal forzado pero no amortiguado

Eliminando los términos cuyos coeficientes son cero en este caso ( $\gamma = \beta = F_o$ , el sistema de ecuaciones tiene la siguiente forma

$$\frac{dx}{dt} = y = f(t, x, y) \quad (23)$$

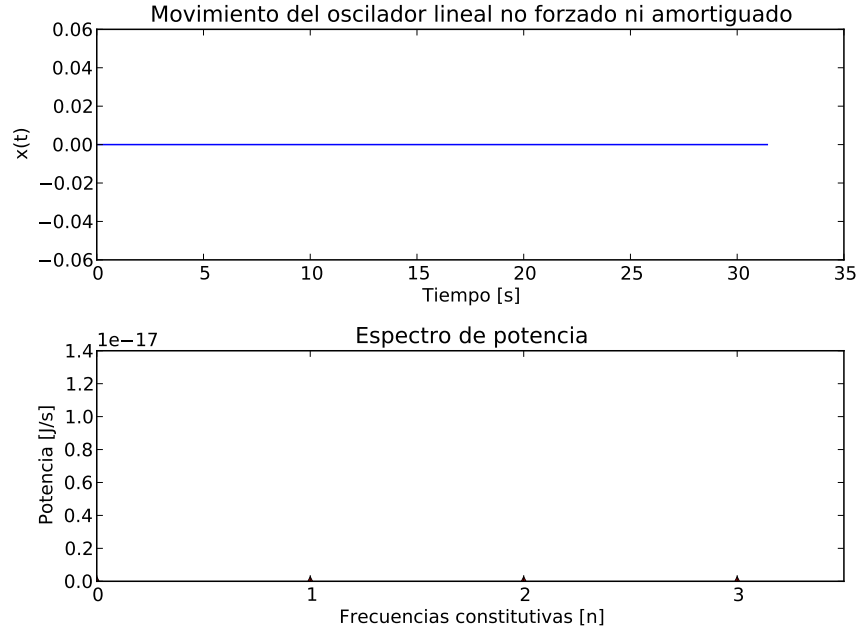


Figura 1: Representación de la señal y espectro de potencias de un oscilador lineal no forzado ni amortiguado con  $w_o = 1$ . La señal ha sido obtenida mediante la aplicación del método de Runge-Kutta de cuarto orden y con un paso de integración  $h = 0,01$

$$\frac{dy}{dt} = F_o \cos wt - w_o^2 x = g(t, x, y) \quad (24)$$

donde se aplican las condiciones iniciales.

El oscilador se encuentra en reposo y en el origen de coordenadas, sin embargo, la aplicación de la fuerza oscilante externa con una frecuencia igual a la frecuencia natural del oscilador produce el fenómeno conocido como *resonancia*. Dicha fuerza externa proporciona energía al oscilador aumentando la amplitud de su movimiento en cada ciclo, efecto que puede observarse en la figura 2.

Por otro lado, en el espectro de potencias pueden observarse varias frecuencias constitutivas que proporcionan, al sumar las componentes sinusoidales correspondientes, la forma concreta de la señal. Hay que recordar, que una señal sinusoidal pura y de extensión infinita estaría constituida por una única componente de una frecuencia determinada. Sin embargo estas señal son teóricas y no pueden representarse en un número finito de ciclos, por lo tanto, la señal analizada tiene una longitud determinada en el tiempo y debe estar constituida por varias frecuencias que sinteticen la forma adecuada.

### 3.3. Oscilador lineal forzado y amortiguado

En el caso de este tipo de oscilación se introduce un nuevo termino en el sistema de ecuaciones que produce una disminución de la energía del oscilador con el paso del tiempo.

$$\frac{dx}{dt} = y = f(t, x, y) \quad (25)$$

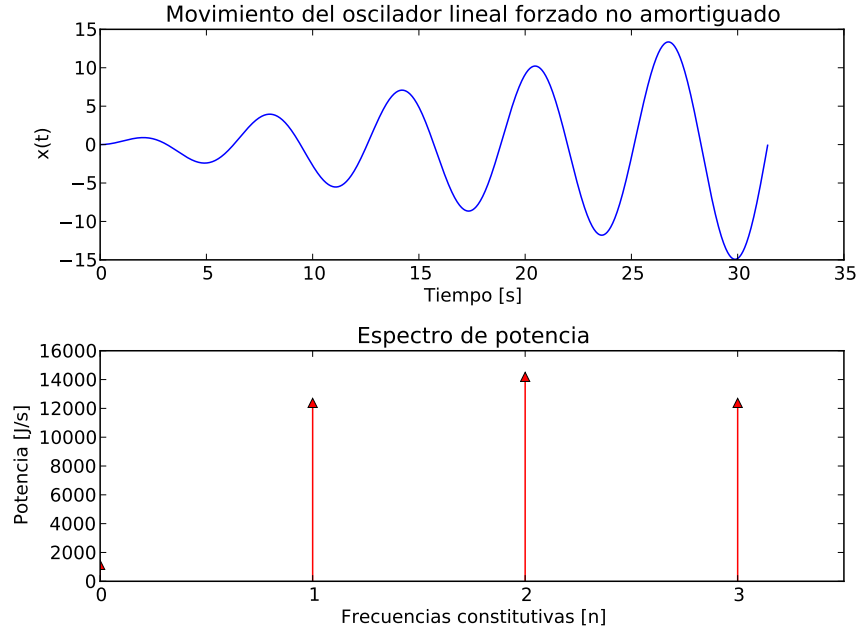


Figura 2: Representación de la señal y del espectro de potencias de un oscilador lineal forzado pero no amortiguado con  $w_o = w = 1$  y un coeficiente para la fuerza  $F_o = 1$ . La señal ha sido obtenida mediante la aplicación del método de Runge-Kutta de cuarto orden y con un paso de integración  $h = 0,01$ .

$$\frac{dy}{dt} = F_o \cos wt - w_o^2 x - \gamma y = g(t, x, y) \quad (26)$$

A partir de la aplicación de las condiciones iniciales y del método de integración se obtiene la señal correspondiente al oscilador armónico forzado y amortiguado. Como puede observarse en la figura3, la amplitud del movimiento del oscilador no crece, como sí ocurre en el caso del oscilador forzado y no amortiguado, de una forma indefinida debido a la aplicación de la fuerza periódica externa,

La introducción del factor de amortiguamiento, debido por ejemplo al rozamiento, produce la reducción de la energía disponible. Sin embargo, ya que tanto la fuerza periódica aplicada como la amortiguación son constantes en el tiempo, y una vez que se termina la fase transitoria inicial, el oscilador produce una señal sinusoidal de amplitud constante. Esto puede observarse al analizar el espectro de frecuencias y comprobar que la forma del espectro es similar a la del caso anterior. Sin embargo, en este caso la potencia de cada componente de frecuencia es menor que el caso en el que no se produce amortiguación, debido a que la amplitud de la señal se encuentra acotada.

### 3.4. Oscilador no lineal forzado y amortiguado

En este último caso se utiliza la forma completa del sistema de ecuaciones diferenciales que rige el movimiento del oscilador anarmónico:



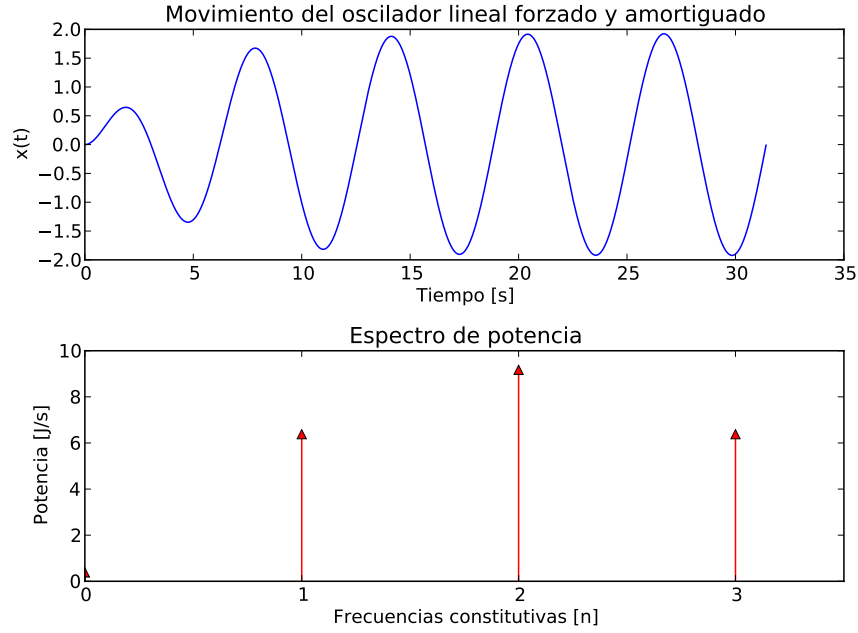


Figura 3: Representación de la señal y del espectro de potencias de un oscilador lineal forzado y amortiguado con  $w_o = 1$ ,  $w = 1$ ,  $F_o = 1$  y un coeficiente de amortiguamiento  $\gamma = 0,52$ . La señal ha sido obtenida mediante la aplicación del método de Runge-Kutta de cuarto orden y con un paso de integración  $h = 0,01$

$$\frac{dx}{dt} = y = f(t, x, y) \quad (27)$$

$$\frac{dy}{dt} = F_o \cos \omega t - \gamma y - \omega_o^2 x - \beta x^2 = g(t, x, y) \quad (28)$$

y se utilizan nuevamente las condiciones iniciales y los métodos numéricos correspondientes. En este caso se estudian dos conjuntos diferentes de parámetros para el oscilador:

- S1:  $\gamma = 0,52$ ,  $F_o = 0,516$ ,  $w = 1,2$
- S2:  $\gamma = 0,48$ ,  $F_o = 0,5162$ ,  $w = 1,3$

En ambos casos se ha utilizado  $\beta = 1,09$ , con objeto de obtener un comportamiento aperiódico claro en una representación en pocos periodos de la señal.

### 3.4.1. Conjunto de parámetros S1

Al utilizar la configuración de parámetros dada y aplicar el método de resolución de ecuaciones diferenciales de Runge-Kutta al sistema de ecuaciones diferenciales se ha detectado el siguiente problema. La ecuación es inestable y al llegar a cierto instante de tiempo se produce un estallido y un crecimiento muy rápido que produce valores numéricos no representables. En la figura 4 se observa la representación obtenida hasta que se produce el comportamiento

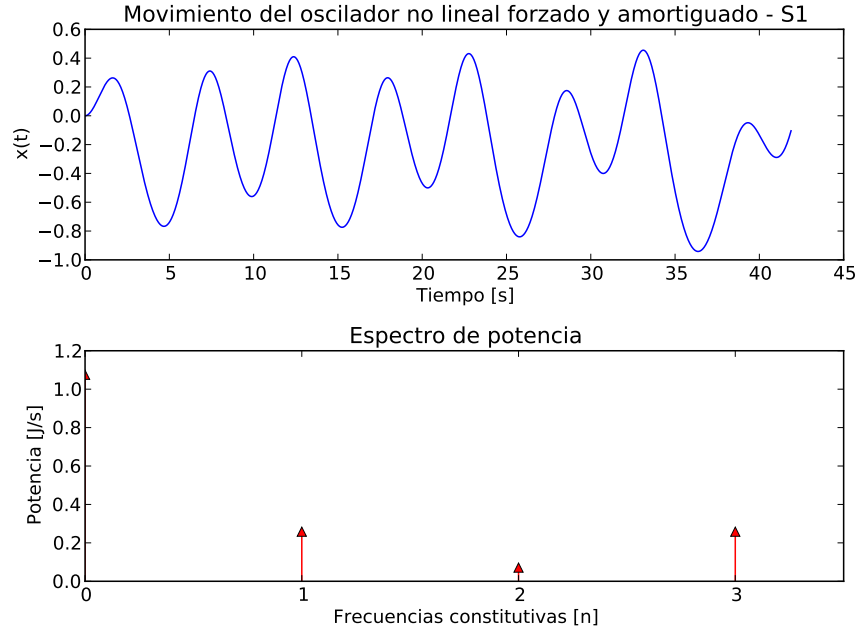


Figura 4: Representación de la señal y el espectro de potencias de un oscilador anarmónico forzado y amortiguado con  $w_o = 1$ ,  $w = 1$ ,  $\gamma = 0,52$ ,  $F_o = 0,516$ ,  $w = 1,2$ . La señal ha sido obtenida mediante la aplicación del método de Runge-Kutta de cuarto orden y con un paso de integración  $h = 0,01$

inestable detectado. En esta situación es imposible calcular un número suficiente de periodos que permita aplicar el análisis del espectro de potencias llevado a cabo en los casos anteriores.

La detección del comportamiento anómalo de la función se ha implementado comprobando si en algún momento se obtiene un valor para  $x(t)$  definido como NaN. Esto significa que la ecuación se ha vuelto inestable y ha comenzado a crecer en magnitud de forma descontrolada. Esta comprobación puede comprobarse en los listados de código incluidos en el anexo del trabajo.

Con objeto de resolver el problema se ha probado a modificar el tamaño del paso de integración, pero no se han obtenido resultados satisfactorios. La inestabilidad en el sistema de ecuaciones se debe a la introducción del factor no lineal en la ecuación y a su correspondiente coeficiente, que produce que dicho término crezca de una forma mucho más rápida que los otros. Las ecuaciones que contienen términos de este tipo se conocen como *ecuaciones rígidas* y presentan un comportamiento inestable ante ciertos métodos numéricos de integración

La solución al problema de la rigidez de las ecuaciones requiere la utilización de otros métodos numéricos que produzcan un comportamiento más estable en las ecuaciones integradas. Por ejemplo, se ha constatado en internet que existen métodos como el *Backward Euler Method*<sup>4</sup> que pueden ser aplicados a sistemas de ecuaciones diferenciales. Esta solución es similar al método de Euler, pero utiliza una representación implícita de la función diferencial y la construcción de un sistema de ecuaciones que debe ser resuelto mediante algún método (p.e. el método de Newton o el del punto fijo).

<sup>4</sup>[http://en.wikipedia.org/wiki/Backward\\_Euler\\_method](http://en.wikipedia.org/wiki/Backward_Euler_method)

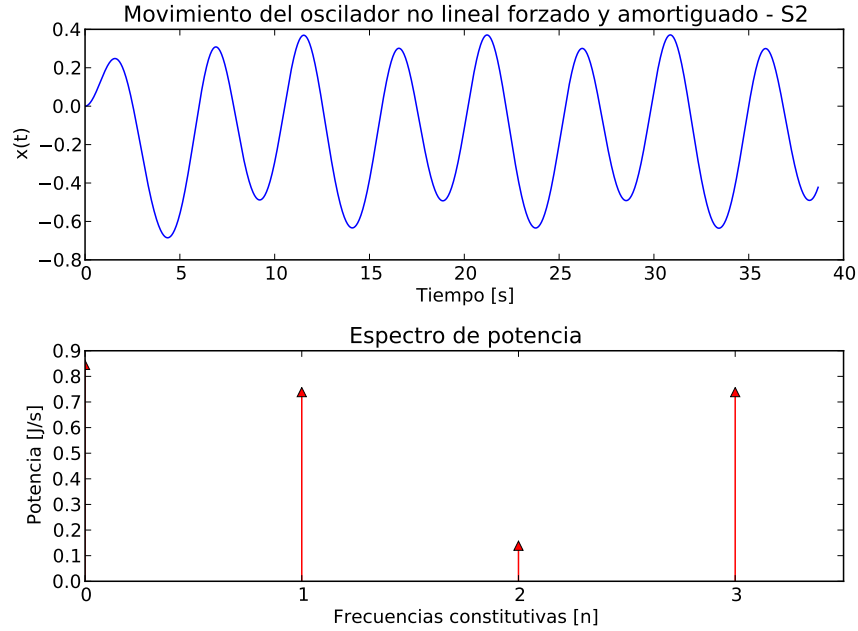


Figura 5: Representación de la señal y el espectro de potencias de un oscilador anarmónico forzado y amortiguado con  $w_o = 1$ ,  $w = 1$ ,  $\gamma = 0,48$ ,  $F_o = 0,5162$ ,  $w = 1,3$ . La señal ha sido obtenida mediante la aplicación del método de Runge-Kutta de cuarto orden y con un paso de integración  $h = 0,01$

Sin embargo, el autor de este trabajo no ha conseguido representar correctamente el sistema de ecuaciones diferenciales en una forma implícita para la aplicación de este método.

### 3.4.2. Conjunto de parámetros S2

Al utilizar el segundo conjunto de parámetros ha sido posible calcular un número de periodos suficiente como para llevar a cabo la integración de la señal durante los periodos necesarios para realizar un análisis de frecuencia promediado. El análisis de Fourier se ha llevado a cabo utilizando una frecuencia de señal de  $w = 1,3$ , es decir, igual a la frecuencia de la fuerza periódica externa aplicada al oscilador.

En este caso puede observarse que aparece una nueva componente de frecuencia  $n = 0$  y que es debida al comportamiento no periódico de la función de onda analizada.

## 4. Conclusiones

La realización de este trabajo ha servido para comprobar el funcionamiento real de un método de integración aplicado a un sistema de ecuaciones diferenciales. Ha permitido comprobar cómo de importante es la elección del paso de integración correcto para obtener la aproximación requerida de la aplicación del método numérico.

Por otro lado, se ha conocido experimentalmente cuáles son las limitaciones de los métodos de integración de tipo explícito, como es el caso del método de Runge-Kutta utilizado, cuando se aplican a ecuaciones rígidas. Aunque no se ha podido comprobar una implementación de

un método implícito, se ha comprobado la existencia de este tipo de métodos y su mayor adecuación para la resolución de ecuaciones diferenciales en dichos casos.

Además, el trabajo ha permitido estudiar el funcionamiento de la Transformada de Fourier Discreta y, mediante algunas pruebas realizadas durante la elaboración del trabajo, comprobar que el incremento en el número de muestras de la señal produce un aumento notable en el tiempo de computación de la misma. Aunque no se ha llegado a implementar, se ha comprobado que la solución a este problema es la utilización de la Transformada Rápida de Fourier mediante el uso de una implementación de la misma proporcionada por la librería *numpy* para Python. Se ha comprobado que los resultados obtenidos con el uso de dicha librería concuerdan con la implementación directa de la transformada discreta, mientras que los tiempos de la Transformada Rápida de Fourier son muchísimo más pequeños que los del código utilizado en el trabajo.

## 5. Anexo

### 5.1. Implementación de los métodos numéricos

La implementación de los diferentes métodos numéricos desarrollados en este trabajo ha sido realizada utilizando el lenguaje de programación Python (<http://www.python.org/>). La generación de las gráficas se ha llevado a cabo usando la librería *matplotlib* (<http://matplotlib.org/>) para este lenguaje de programación. Se incluye a continuación un listado del código de los diferentes métodos numéricos utilizados.

Para el desarrollo del código de la Transformada de Fourier Discreta y del cálculo del espectro de potencias se utilizó la librería *cmath*<sup>5</sup>, que proporciona funciones matemáticas para su uso con números complejos. Aunque Python incorpora soporte nativo para la aritmética de números complejos, la librería usual de funciones matemáticas *math*<sup>6</sup> no proporciona cálculos para este tipo de números.

---

<sup>5</sup><http://docs.python.org/2/library/cmath.html>

<sup>6</sup><http://docs.python.org/2/library/math.html>

```

1  def runge_kutta_sistema(h, n, f, g, x_0, y_0, t_0):
2      ''' Implementación del método de Runge-Kutta para sistemas de dos
3          ecuaciones diferenciales.
4          Devuelve una lista de tuplas (t, x, y) con los resultados de
5          la integración paso a paso.
6          h : paso de integración
7          n : número de pasos de la integración
8          f : función f(x, y, t)
9          g : función g(x, y, t)
10         x_0, y_0, t_0 : condiciones iniciales
11     '''
12     t = t_0 # condiciones iniciales del sistema
13     x = x_0
14     y = y_0
15
16     tabla = [(t, x, y)]
17
18     #bucle para obtener una muestra de n valores
19     for i in range(n):
20         k1 = h * f(x, y, t) #cálculo de los coeficientes
21         l1 = h * g(x, y, t)
22
23         k2 = h * f(x + k1 / 2, y + l1 / 2, t + h / 2)
24         l2 = h * g(x + k1 / 2, y + l1 / 2, t + h / 2)
25
26         k3 = h * f(x + k2 / 2, y + l2 / 2, t + h / 2)
27         l3 = h * g(x + k2 / 2, y + l2 / 2, t + h / 2)
28
29         k4 = h * f(x + k3, y + l3, t + h)
30         l4 = h * g(x + k3, y + l3, t + h)
31
32         #incremento de las variables dependientes (x, y)
33         # y de la independiente (t)
34         x = x + (k1 + 2 * k2 + 2 * k3 + k4) / 6
35         y = y + (l1 + 2 * l2 + 2 * l3 + l4) / 6
36         t += h
37
38         #comprobación de comportamiento anómalo
39         if math.isnan(x) or math.isnan(y):
40             print 'Comportamiento anómalo detectado: t = ', t
41             break
42
43         #los resultados son almacenados en una lista de elementos (t, x, y)
44         tabla.append((t, x, y))
45

```

Figura 6: Código de la implementación del método Runge-Kutta de cuarto orden para la resolución de un sistema de de dos ecuaciones diferenciales

```

1  # -*- coding: utf8 -*-
2
3  import cmath
4  import math
5
6  def tfd(x):
7      """
8          Implementación de la Transformada de Fourier Discreta.
9          En el calculo se utiliza la aritmética de números complejos
10         proporcionada por Python y la librería cmath que incluye otras
11         funciones matemáticas para números complejos.
12         Devuelve el espectro de frecuencias en una lista
13         x : lista que contiene las muestras de un periodo de la señal
14     """
15     N = len(x)
16     espectro_freq = []
17     for n in range(N):
18         c = 0
19         for k in range(N):
20             c += x[k] * cmath.exp(-2j * cmath.pi * n * k / N)
21         espectro_freq.append(c)
22
23     return espectro_freq
24
25 def muestrear(sol_numerica, muestras_periodes, pasos_periodes):
26     """
27         LLeva a cabo un muestreo de una señal.
28         Devuelve una lista con la muestra resultante.
29         sol_numerica: contiene la solución numerica obtenida de la
30         aplicación del algoritmo de Runge-Kutta
31         muestras_periodes: el número de muestras por periodo a obtener
32         pasos_periodes: el número de pasos que contiene cada periodo
33     """
34     #se obtienen un muestreo de valores por periodo muestras_periodes
35     paso = int(math.ceil(pasos_periodes) / float(muestras_periodes - 1))
36     muestra = []
37     for i, (_, x, _) in enumerate(sol_numerica):
38         if i % paso == 0:
39             muestra.append(x)
40
41     return muestra

```

Figura 7: Código de la implementación de la Transformada de Fourier Discreta y el muestreo de una señal sobre varios periodos

```

42
43 def tfd_promedio(fourier_periodos, muestras_perodo, muestra):
44     '''
45         Calcula la Transformada de Fourier Discreta promediada
46         entre varios periodos de la señal.
47         Devuelve una lista con la Transformada de Fourier Discreta
48         promediada sobre el número de periodos.
49         fourier_periodos: el número de periodos de la señal
50         muestras_perodo: el número de muestras en cada periodo
51         muestras: lista que contiene la muestra a promediar
52     '''
53     fourier_promediado = [0] * muestras_perodo
54     # se obtiene la Transformada de Fourier Discreta para cada periodo
55     for i in range(fourier_periodos):
56         # se determina el inicio y fin de cada periodo
57         inicio_perodo = i * (muestras_perodo - 1)
58         final_perodo = inicio_perodo + muestras_perodo
59         # calculo de la transformada de Fourier del periodo actual
60         fourier = tfd(muestra[inicio_perodo:final_perodo])
61         # se acumulan los coeficientes promediados obtenidos por cada periodo
62         for k, c in enumerate(fourier):
63             fourier_promediado[k] += c / float(fourier_periodos)
64
65     return fourier_promediado
66
67 def espectro_pot(fourier):
68     '''
69         Calcula el espectro de potencia de una lista que contiene
70         la Transformada de Fourier Discreta. Utiliza la aritmética de
71         números complejos proporcionada por el lenguaje Python.
72         Devuelve una lista con el espectro de potencias.
73         fourier: lista conteniendo la Transformada de Fourier Discreta.
74     '''
75     # se obtiene la potencia calculando el módulo de cada coeficiente complejo
76     espectro_potencia = []
77     for c in fourier:
78         p = (c * c.conjugate()).real
79         espectro_potencia.append(p)
80
81     return espectro_potencia

```

Figura 8: Continuación del listado anterior que contiene el código de la Transformada de Fourier Discreta promedio y cálculo del espectro de potencia

```

1  # -*- coding: utf8 -*-
2
3  import matplotlib.pyplot as plt
4  import math
5
6  from metodos import eq_diferenciales
7  from metodos import transformada_fourier
8
9  def mostrar_graficas(h, num_periodos, f, g, x_0, y_0, t_0, titulo, freq=1.0, fichero=None):
10     # periodo de la señal periódica
11     periodo = 2.0 * math.pi / freq
12
13     # numero total de pasos de integración
14     n = int(num_periodos * periodo / h)
15
16     # calculo de la tabla de integracion del sistema
17     sol_numerica = eq_diferenciales.runge_kutta_sistema(h, n, f, g, x_0, y_0, t_0)
18
19     # se obtienen de la tabla de valores los vectores de tiempo,
20     tiempo = []
21     numerica = []
22     for t, x, _ in sol_numerica:
23         tiempo.append(t)
24         numerica.append(x)
25
26     # se utiliza matplotlib para generar la gráfica de la señal
27     plt.subplot(211)
28     plt.plot(tiempo, numerica)
29     plt.title('Movimiento del %s' % titulo)
30     plt.xlabel('Tiempo [s]')
31     plt.ylabel('x(t)')

```

Figura 9: Implementación del código para la visualización de la señal y el espectro de potencia. Se ha utilizado la librería matplotlib para la generación de las gráficas



```

32
33     # se calcula la señal para 50 periodos
34     fourier_periodos = 50
35     pasos_periodo = periodo / h
36
37     # numero de pasos de integración para muestrear fourier_periodos
38     n = int(fourier_periodos * pasos_periodo)
39     sol_numerica = eq_diferenciales.runge_kutta_sistema(h, n, f, g, x_0, y_0, t_0)
40
41     #se define el número de muestras por periodo
42     muestras_periodo = 4
43     #se muestrea la señal
44     muestra = transformada_fourier.muestrear(sol_numerica, muestras_periodo, pasos_periodo)
45     #se obtiene su transformada de Fourier
46     fourier = transformada_fourier.tfd_promedio(fourier_periodos, muestras_periodo, muestra)
47     # se calcula su espectro de potencia
48     espectro_potencia = transformada_fourier.espectro_pot(fourier)
49
50     #generación de la gráfica de espectro de potencias
51     n = range(len(espectro_potencia))
52     plt.subplot(212)
53     plt.plot(n, espectro_potencia, 'r^')
54     plt.vlines(n, [0], espectro_potencia, 'r')
55     plt.title('Espectro de potencia')
56     plt.xlabel('Frecuencias constitutivas [n]')
57     plt.xticks(n)
58     plt.ylabel('Potencia [J/s]')
59     plt.tight_layout()
60
61     #escritura de gráfica en fichero
62     if fichero is not None:
63         plt.savefig(fichero)
64
65     #visualización de la gráfica
66     plt.show()

```

Figura 10: Continuación de la implementación del código para la visualización de la señal y el espectro de potencia. Se ha utilizado la librería matplotlib para la generación de las gráficas

```

1  # -*- coding: utf8 -*-
2
3  from metodos import eq_diferenciales
4  from metodos import transformada_fourier
5  import math
6  import graficas
7
8  #definición de las funciones del sistema de ecuaciones diferenciales
9  def f(x, y, t):
10     return y
11
12  def g(x, y, t):
13     return math.cos(t) - x
14
15  h = 0.01 # configuración del paso de integración
16  num_periodos = 5 #periodos de la señal visualizados
17  x_0 = 0.0 # condición inicial  $x(t_0) = 0$ 
18  y_0 = 0.0 # condición inicial  $dx/dt(t_0) = 0$ 
19  t_0 = 0.0 # condición inicial  $t_0 = 0$ 
20
21  #cálculo y representación gráfica de la señal y la espectro de potencias
22  graficas.mostrar_graficas(h, num_periodos, f, g, x_0, y_0, t_0,
23      'oscilador lineal forzado no amortiguado', fichero='memoria/caso_forzado.pdf')

```

Figura 11: Código del caso lineal no amortiguado ni forzado

```

1  # -*- coding: utf8 -*-
2
3  from metodos import eq_diferenciales
4  from metodos import transformada_fourier
5  import math
6  import graficas
7
8  #definición de las funciones del sistema de ecuaciones diferenciales
9  def f(x, y, t):
10     return y
11
12  def g(x, y, t):
13     return math.cos(t) - x
14
15  h = 0.01 # configuración del paso de integración
16  num_periodos = 5 #periodos de la señal visualizados
17  x_0 = 0.0 # condición inicial  $x(t_0) = 0$ 
18  y_0 = 0.0 # condición inicial  $dx/dt(t_0) = 0$ 
19  t_0 = 0.0 # condición inicial  $t_0 = 0$ 
20
21  #cálculo y representación gráfica de la señal y la espectro de potencias
22  graficas.mostrar_graficas(h, num_periodos, f, g, x_0, y_0, t_0,
23      'oscilador lineal forzado no amortiguado', fichero='memoria/caso_forzado.pdf')

```

Figura 12: Código del caso lineal forzado pero no amortiguado

```

1  # -*- coding: utf8 -*-
2
3  from metodos import eq_diferenciales
4  from metodos import transformada_fourier
5  import math
6  import graficas
7
8  #definición de las funciones del sistema de ecuaciones diferenciales
9  def f(x, y, t):
10     return y
11
12  def g(x, y, t):
13     return math.cos(t) - x - 0.52 * y
14
15  h = 0.01 # configuración del paso de integración
16  num_periodos = 5 #periodos de la señal visualizados
17  x_0 = 0.0 # condición inicial  $x(t_0) = 0$ 
18  y_0 = 0.0 # condición inicial  $dx/dt(t_0) = 0$ 
19  t_0 = 0.0 # condición inicial  $t_0 = 0$ 
20
21  #cálculo y representación gráfica de la señal y la espectro de potencias
22  graficas.mostrar_graficas(h, num_periodos, f, g, x_0, y_0, t_0,
23     'oscilador lineal forzado y amortiguado', fichero='memoria/caso_forzado_amortiguado.pdf')

```

Figura 13: Código del caso lineal forzado y amortiguado

```

1  # -*- coding: utf8 -*-
2
3  from metodos import eq_diferenciales
4  from metodos import transformada_fourier
5  import math
6  import graficas
7
8  #definición de las funciones del sistema de ecuaciones diferenciales
9  def f(x, y, t):
10     return y
11
12  def g(x, y, t):
13     return 0.516 * math.cos(1.2 * t) - x - 0.52 * y - 1.09 * (x * x)
14
15  h = 0.01 # configuración del paso de integración
16  num_periodos = 8 #periodos de la señal visualizados
17  x_0 = 0.0 # condición inicial  $x(t_0) = 0$ 
18  y_0 = 0.0 # condición inicial  $dx/dt(t_0) = 0$ 
19  t_0 = 0.0 # condición inicial  $t_0 = 0$ 
20
21  #cálculo y representación gráfica de la señal y la espectro de potencias
22  graficas.mostrar_graficas(h, num_periodos, f, g, x_0, y_0, t_0,
23     'oscilador no lineal forzado y amortiguado - S1',
24     freq=1.2, fichero='memoria/caso_anarmonico_s1.pdf')

```

Figura 14: Código del caso no lineal forzado y amortiguado para parámetros S1

```

1  # -*- coding: utf8 -*-
2
3  from metodos import eq_diferenciales
4  from metodos import transformada_fourier
5  import math
6  import graficas
7
8  #definición de las funciones del sistema de ecuaciones diferenciales
9  def f(x, y, t):
10     return y
11
12  def g(x, y, t):
13     return 0.5162 * math.cos(1.3 * t) - x - 0.48 * y - 1.09 * (x * x)
14
15  h = 0.01 # configuración del paso de integración
16  num_periodos = 8 #periodos de la señal visualizados
17  x_0 = 0.0 # condición inicial  $x(t_0) = 0$ 
18  y_0 = 0.0 # condición inicial  $dx/dt(t_0) = 0$ 
19  t_0 = 0.0 # condición inicial  $t_0 = 0$ 
20
21  #cálculo y representación gráfica de la señal y la espectro de potencias
22  graficas.mostrar_graficas(h, num_periodos, f, g, x_0, y_0, t_0,
23     'oscilador no lineal forzado y amortiguado - S2',
24     freq=1.3, fichero='memoria/caso_anarmonico_s2.pdf')

```

Figura 15: Código del caso no lineal forzado y amortiguado para parámetros S2